

二つの数値シミュレーション例を用いて, EKFとUKFの性能比較を行う.

EKF . . . 非線形システムを各時刻において, 線形化を行い
それぞれの時刻において時変カルマンフィルタを適用する.

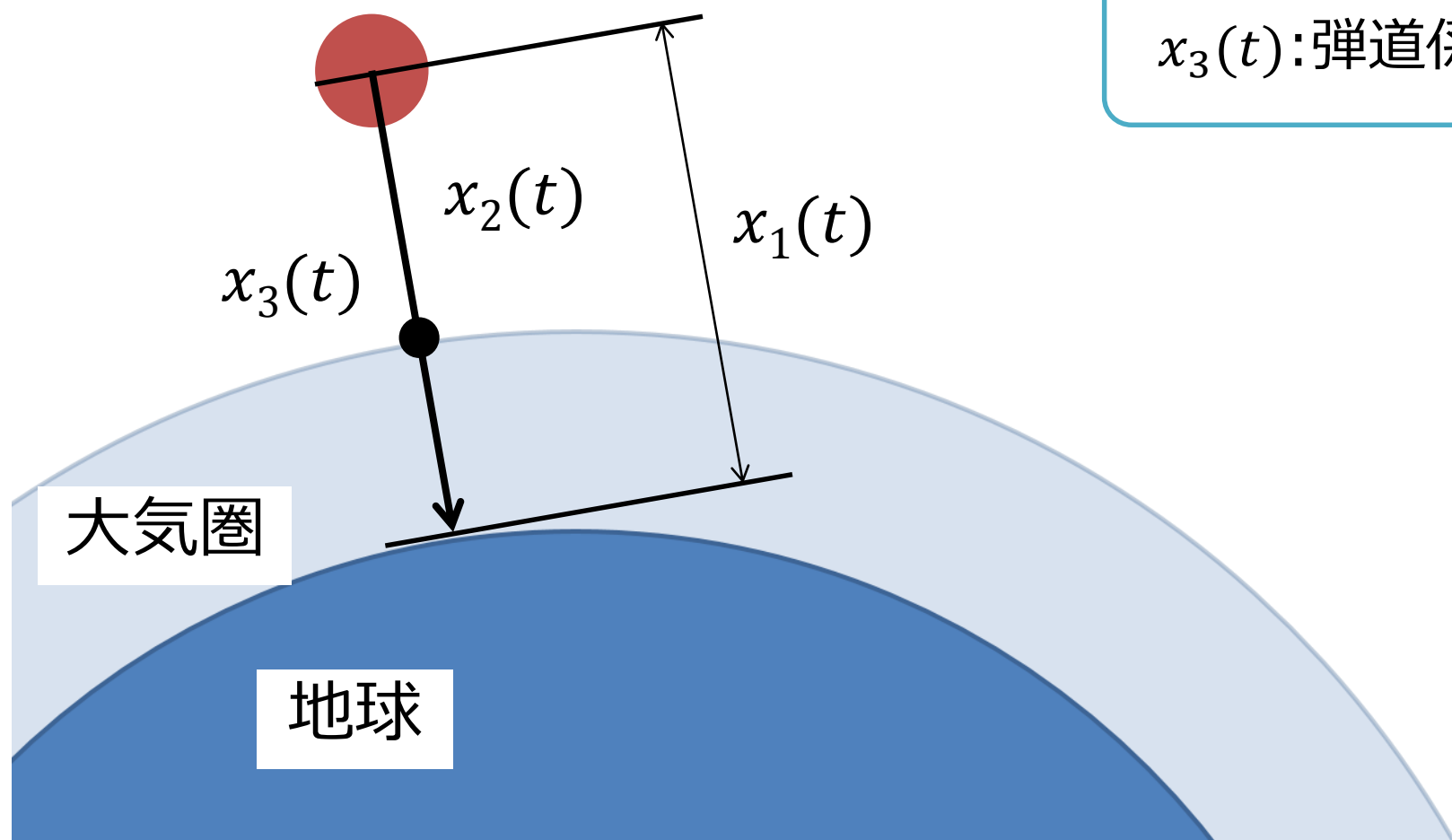
UKF . . . 非線形システムを各時刻における線形近似ではなく
確率密度関数 (確率分布) を正規分布で近似するという
統計量の近似に基づく.

例題7.3

$x_1(t)$: 高度

$x_2(t)$: 速度

$x_3(t)$: 弾道係数



状態方程式

$$\frac{d}{dt} \begin{bmatrix} x_1(t) \\ x_2(t) \\ x_3(t) \end{bmatrix} = \begin{bmatrix} x_2(t) \\ 0.5\rho_0 \exp\left(-\frac{x_1(t)}{\eta}\right) x_2^2(t) x_3(t) - g \\ 0 \end{bmatrix}$$

ρ_0 : 海拔高度における空気密度

η : 空気密度と高度の関係を定義する定数

g : 重力加速度

T : サンプルング周期 0.5 [s]

観測方程式

$$y(k) = \sqrt{M^2 + (x_1(k) - a)^2} + w(k)$$

M : レーダと物体の間の水平距離

a : レーダの高度 (三平方の定理より)

$w(k)$: 平均値0, 分散 $4 \times 10^3 [\text{m}^2]$
正規性白色雑音

シミュレーション条件

パラメータ	数値[単位]
ρ_0	1.23 kg/m ³
η	6×10^3 m
g	9.81 m/s ²
M	3×10^4 m
a	3×10^4 m

初期値

状態推定値の初期値

$$\mathbf{x}_0 = [9 \times 10^4 \quad -6 \times 10^3 \quad 3 \times 10^{-3}]^T$$

共分散行列の初期値

$$P(0) = \begin{bmatrix} 9 \times 10^3 & 0 & 0 \\ 0 & 4 \times 10^5 & 0 \\ 0 & 0 & 0.4 \end{bmatrix}$$

UKFの設定パラメータ

$$\kappa = 0$$

状態方程式

$$\frac{d}{dt} \begin{bmatrix} x_1(t) \\ x_2(t) \\ x_3(t) \end{bmatrix} = \begin{bmatrix} x_2(t) \\ 0.5\rho_0 \exp\left(-\frac{x_1(t)}{\eta}\right) x_2^2(t) x_3(t) - g \\ 0 \end{bmatrix}$$



オイラー法により周期 T で離散化

$$\begin{bmatrix} x_1(k+1) \\ x_2(k+1) \\ x_3(k+1) \end{bmatrix} = \begin{bmatrix} x_1(k) + T x_2(k) \\ x_2(k) + T \left\{ 0.5\rho_0 \exp\left(-\frac{x_1(k)}{\eta}\right) x_2^2(k) x_3(k) - g \right\} \\ x_3(k) \end{bmatrix}$$

例題7.4

状態方程式

$$\begin{aligned}x(k+1) &= f(x(k)) + v(k) \\&= 0.2x(k) + \frac{25x(k)}{1+x^2(k)} + 8 \cos 1.2k + v(k)\end{aligned}$$

$$y(k) = h(x(k)) + w(k) = \frac{1}{20}x^2(k) + w(k)$$

$v(k), w(k)$: 互いに独立な正規性白色雑音
それらの平均値は0である.

$\sigma_v^2 = 1, \sigma_w^2 = 3$ とする.

A.1 連続時間モデルから離散時間モデルへの変換

連続時間モデル \Rightarrow 離散時間関数

$$\frac{d}{dt}x(t) = f_c(t, x(t)) \Rightarrow x(t+h) = f_d(t, x(t))$$

オイラー法

$$\frac{x(k+1) - x(k)}{h} = f_c(t, x(t))$$

$$x(k+1) - x(k) = h \cdot f_c(t, x(t))$$

$$x(k+1) = x(k) + h \cdot f_c(t, x(t))$$

ルンゲクッタ法

$$\begin{aligned} k_1 &= f_c(t, x(t)) & k_3 &= f_c\left(t + \frac{h}{2}, x(t) + \frac{h}{2} \cdot k_2\right) \\ k_2 &= f_c\left(t + \frac{h}{2}, x(t) + \frac{h}{2} \cdot k_1\right) & k_4 &= f_c(t+h, x(t) + h \cdot k_3) \end{aligned}$$

$$x(k+1) = x(k) + h/6 \cdot (k_1 + 2k_2 + 2k_3 + k_4)$$

線形状態方程式

$$\mathbf{x}(k+1) = \mathbf{A}(\boldsymbol{\theta})\mathbf{x}(k) + \mathbf{b}v(k) \quad (7.68)$$

$$y(k) = \mathbf{c}^T(\boldsymbol{\theta})\mathbf{x}(k) + w(k) \quad (7.69)$$

\mathbf{A}, \mathbf{c} : 未知

未知パラメータ (一定値を仮定)

$$\boldsymbol{\theta}(k+1) = \boldsymbol{\theta}(k) \quad (7.70)$$

新しい状態変数を導入

$$\mathbf{z}(k) = \begin{bmatrix} \mathbf{x}(k) \\ \boldsymbol{\theta}(k) \end{bmatrix} \quad (7.71)$$

拡大系を構成してEKFやUKFを適用する.

$$\mathbf{z}(k+1) = \mathbf{f}(\mathbf{z}(k)) + \mathbf{g}(\mathbf{z}(k))v(k) \quad (7.72)$$


$$y(k) = h(\mathbf{z}(k)) + w(k) \quad (7.73)$$

ただし $\mathbf{f}(\mathbf{z}(k)) = \begin{bmatrix} \mathbf{A}(\boldsymbol{\theta}) & \mathbf{0} \\ \mathbf{0} & \mathbf{I} \end{bmatrix} \mathbf{z}(k)$ (7.74)

$$\mathbf{g}(\mathbf{z}(k)) = \begin{bmatrix} \mathbf{b} \\ \mathbf{0} \end{bmatrix} \quad (7.75)$$

$$h(\mathbf{z}(k)) = \mathbf{c}^T(\boldsymbol{\theta})\mathbf{x}(k) \quad (7.76)$$

※推定値の大域的な収束性が保証されていない

 未知パラメータや状態の初期値を
真値の近くに選ぶ必要がある

7.5 状態と未知パラメータの同時推定

例題7.5

状態方程式

$$\frac{d}{dt} \begin{bmatrix} x_1(t) \\ x_2(t) \end{bmatrix} = \begin{bmatrix} 0 & 1 \\ -\frac{K}{M} & -\frac{C}{M} \end{bmatrix} \begin{bmatrix} x_1(t) \\ x_2(t) \end{bmatrix} + \begin{bmatrix} 0 \\ \frac{1}{M} \end{bmatrix} u(t) \quad (7.77)$$

$$y(t) = [1 \quad 0] \begin{bmatrix} x_1(t) \\ x_2(t) \end{bmatrix} \quad (7.78)$$

質量 : $M = 2$ (既知)
バネ定数 : $K = 0.7$ (既知)
粘性係数 : $C = 1$ (未知)
離散化周期 : $T = 0.01s$
観測雑音 $w(k)$: 分散 : 0.1, 平均値0



二つの状態と
未知である粘性抵抗 C
を推定

7.5 状態と未知パラメータの同時推定

$$\frac{d}{dt} \begin{bmatrix} x_1(t) \\ x_2(t) \end{bmatrix} = \begin{bmatrix} 0 & 1 \\ -\frac{K}{M} & -\frac{C(k)}{M} \end{bmatrix} \begin{bmatrix} x_1(t) \\ x_2(t) \end{bmatrix} + \begin{bmatrix} 0 \\ \frac{1}{M} \end{bmatrix} u(t) \quad y(t) = \begin{bmatrix} 1 & 0 \end{bmatrix} \begin{bmatrix} x_1(t) \\ x_2(t) \end{bmatrix}$$

オイラー法による離散化

※問題ではルンゲクッタ法による
離散化を指定しているので
皆さんやってみよう！

$$\begin{bmatrix} x_1(k+1) \\ x_2(k+1) \end{bmatrix} = \begin{bmatrix} 1 & T \\ -\frac{K}{M}T & 1 - \frac{C(k)}{M}T \end{bmatrix} \begin{bmatrix} x_1(k) \\ x_2(k) \end{bmatrix} + \begin{bmatrix} 0 \\ \frac{1}{M}T \end{bmatrix} u(k)$$

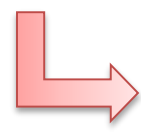
$$C(k+1) = C(k)$$

$$y(k) = \begin{bmatrix} 1 & 0 \end{bmatrix} \begin{bmatrix} x_1(k) \\ x_2(k) \end{bmatrix}$$


拡大系の構成

7.5 状態と未知パラメータの同時推定

$$\begin{bmatrix} x_1(k+1) \\ x_2(k+1) \\ C(k+1) \end{bmatrix} = \begin{bmatrix} 1 & T & 0 \\ -\frac{K}{M}T & 1 - \frac{C(k)}{M}T & 0 \\ 0 & 0 & 1 \end{bmatrix} \begin{bmatrix} x_1(k) \\ x_2(k) \\ C(k) \end{bmatrix} + \begin{bmatrix} 0 \\ \frac{1}{M}T \\ 0 \end{bmatrix} v(k)$$


$$\mathbf{z}(k+1) = \mathbf{f}(\mathbf{z}(k)) + \mathbf{g}(\mathbf{z}(k))v(k)$$

$$y(k) = [1 \quad 0 \quad 0] \begin{bmatrix} x_1(k) \\ x_2(k) \\ C(k) \end{bmatrix}$$


$$y(k) = h(\mathbf{z}(k))$$

統合慣性航法システム

Integrated inertial navigation system

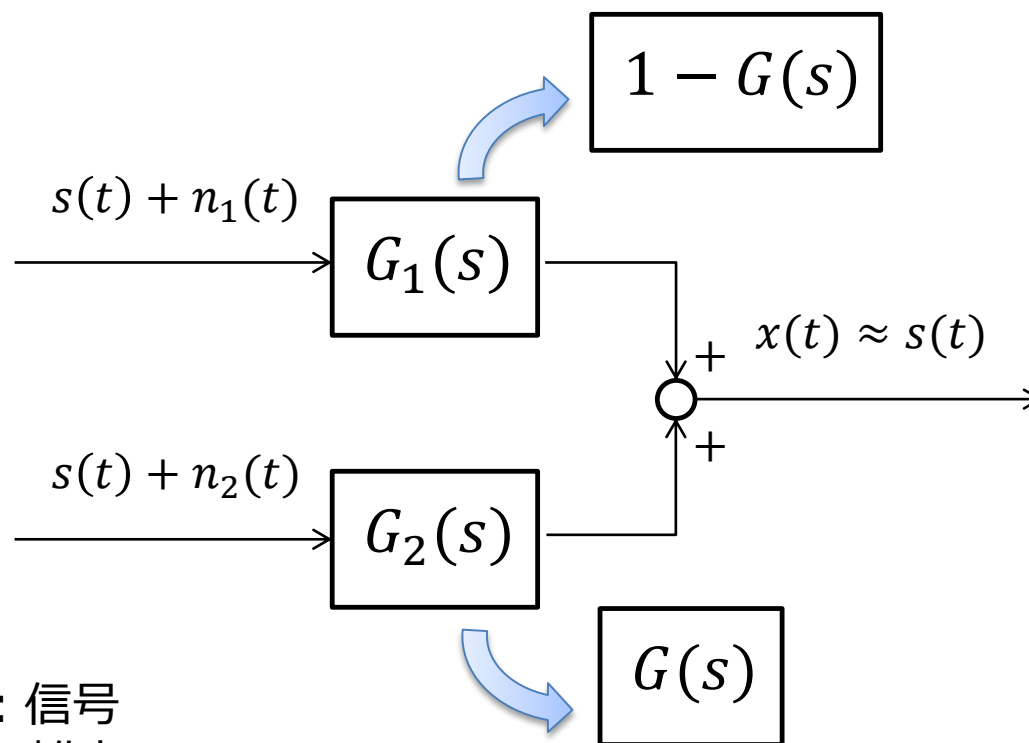
慣性航法システム（INS: inertial Navigation System）とGPSのような他のセンサからの航法データとを統合するシステム。
カルマンフィルタを用いてセンサフュージョン（sensor fusion）を行う手法が提案されている。

衛星航法システムとは、衛星航法のシステムを指す。衛星航法とは、複数の航法衛星（人工衛星の一種）が航法信号を地上の不特定多数に向けて電波送信（放送）し、それを受信する受信機を用いる方式の航法（自己の位置や進路を知る仕組み・方法）を指す。

日本では「衛星測位」及び**衛星測位システム**と呼ぶことが多い。2011年4月からは国土地理院では全地球型のシステム（全地球航法衛星システム）を、**GNSS (Global Navigation satellite systems)** と呼称することになった。なお、よく誤解されるが、GPSはあくまでも衛星測位システムの中の1つであり、衛星測位システムそのものを指すものではない。

システム	国	信号方式	軌道 遠地点と近地点	衛星数	周波数	状態
GPS	アメリカ	CDMA	20,200 km, 12.0h	≥ 24機	1.57542 GHz (L1信号) 1.2276 GHz (L2信号)	運用中
GLONASS	ロシア	FDMA/CDMA	19,100 km, 11.3h	24機 (CDMA対応機を打ち上げた場合は30機)	約 1.602 GHz (SP) 約 1.246 GHz (SP)	再構築後運用中 CDMAは準備中
Galileo	ヨーロッパ共同体	CDMA	23,222 km, 14.1h	2機の試験機が周回中 22機の衛星の運用予算が認可	1.164-1.215 GHz (E5a and E5b) 1.215-1.300 GHz (E6) 1.559-1.592 GHz (E2-L1-E11)	準備中
Compass	中国	CDMA	21,150 km, 12.6h	35機 ^[8]	B1: 1,561098 GHz B1-2: 1.589742 GHz B2: 1.207.14 GHz B3: 1.26852 GHz	15機運用中、 20機追加予定

8.1 相補フィルタ



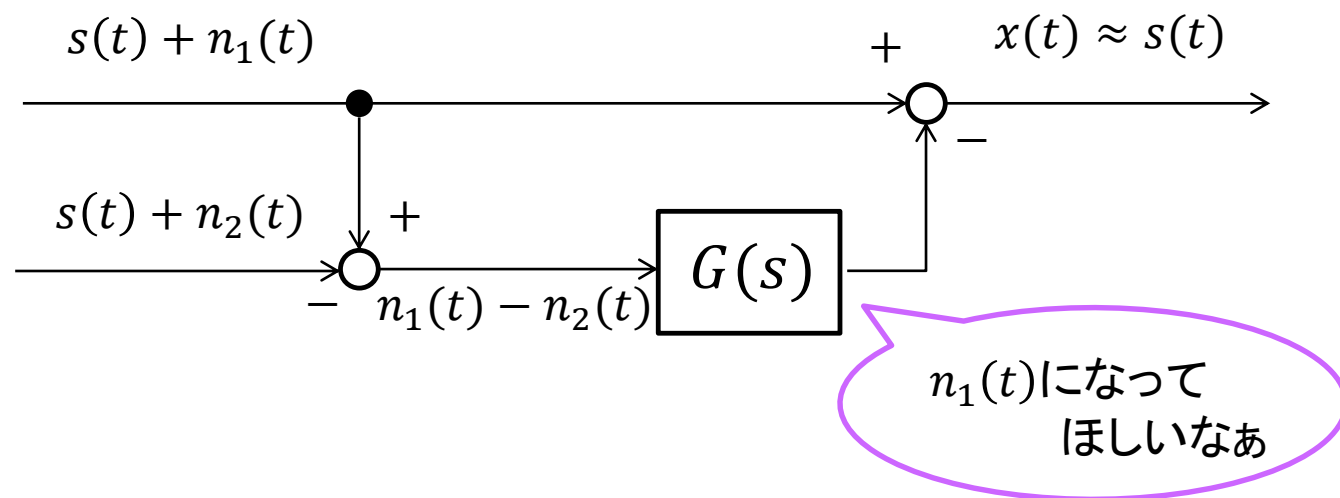
$s(t)$: 信号
 $n_1(t), n_2(t)$: 雑音
 $x(t)$: フィルタリングによる推定値

$$\begin{aligned}
 X(s) &= [1 - G(s)][S(s) + N_1(s)] + G(s)[S(s) + N_2(s)] \\
 &= S(s) + [1 - G(s)]N_1(s) + G(s)N_2(s)
 \end{aligned}$$

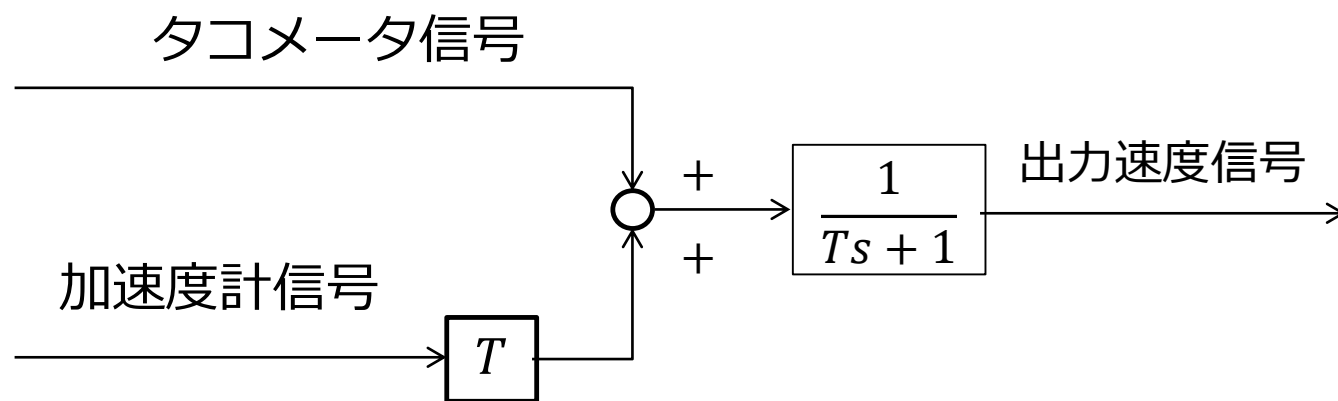
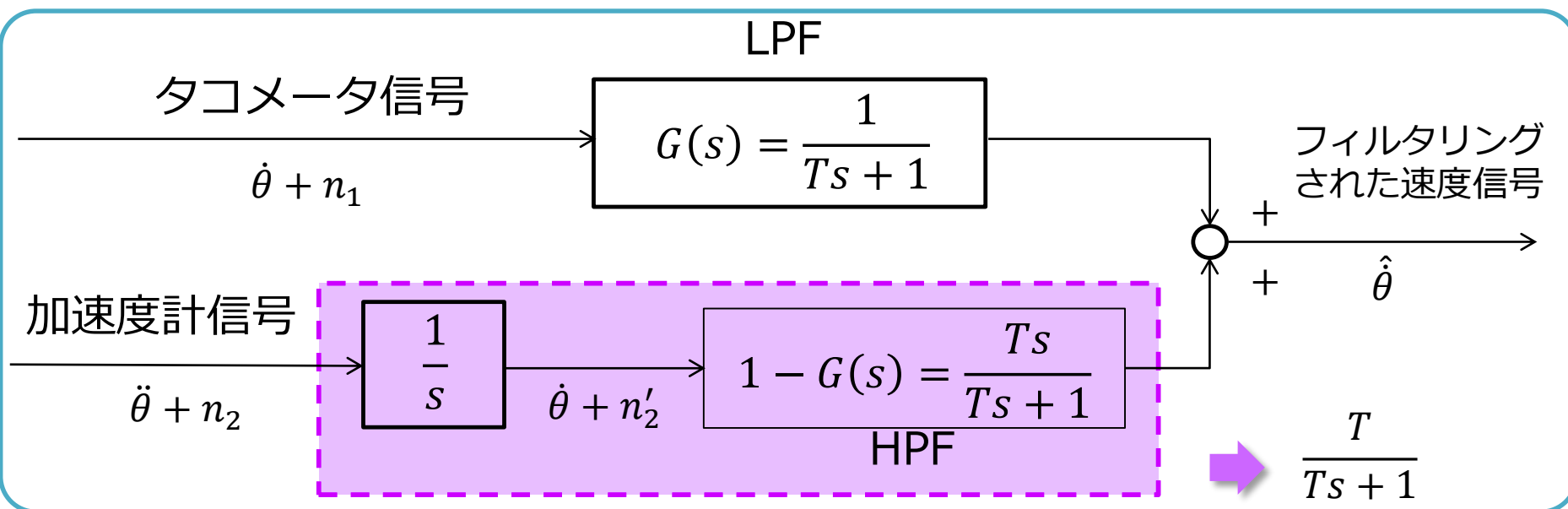
8.1 相補フィルタ

$$\begin{aligned} X(s) &= [1 - G(s)][S(s) + N_1(s)] + G(s)[S(s) + N_2(s)] \\ &= S(s) + [1 - G(s)]N_1(s) + G(s)N_2(s) \end{aligned}$$

相補フィルタの差分・フィードフォワード構成



8.1 相補フィルタ



T (時定数)のみを設計すればよい

8.1 相補フィルタ

慣性航法システム
INS : Internal navigation system

ジャイロ스코ープ

角速度 $\xrightarrow{\text{積分}}$ 姿勢

加速度センサ

加速度 $\xrightarrow{\text{積分}}$ 速度 $\xrightarrow{\text{積分}}$ 位置

積分により姿勢や位置の誤差は不安定になりドリフト誤差をもつ.

$$h(\mathbf{x}^*) = (\text{真の位置, 速度など}) + n_1$$

n_1 : 慣性系誤差

補助センサ
(GPSやドップラーレーダなど)

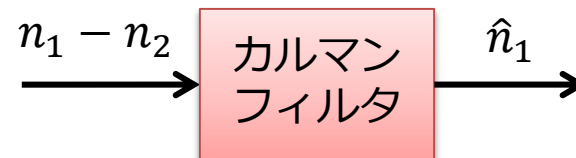
$$z(k) = (\text{真の位置, 速度など}) + n_2$$

n_2 : 補助センサ誤差

計測の差をとると, 雑音成分のみが残る.

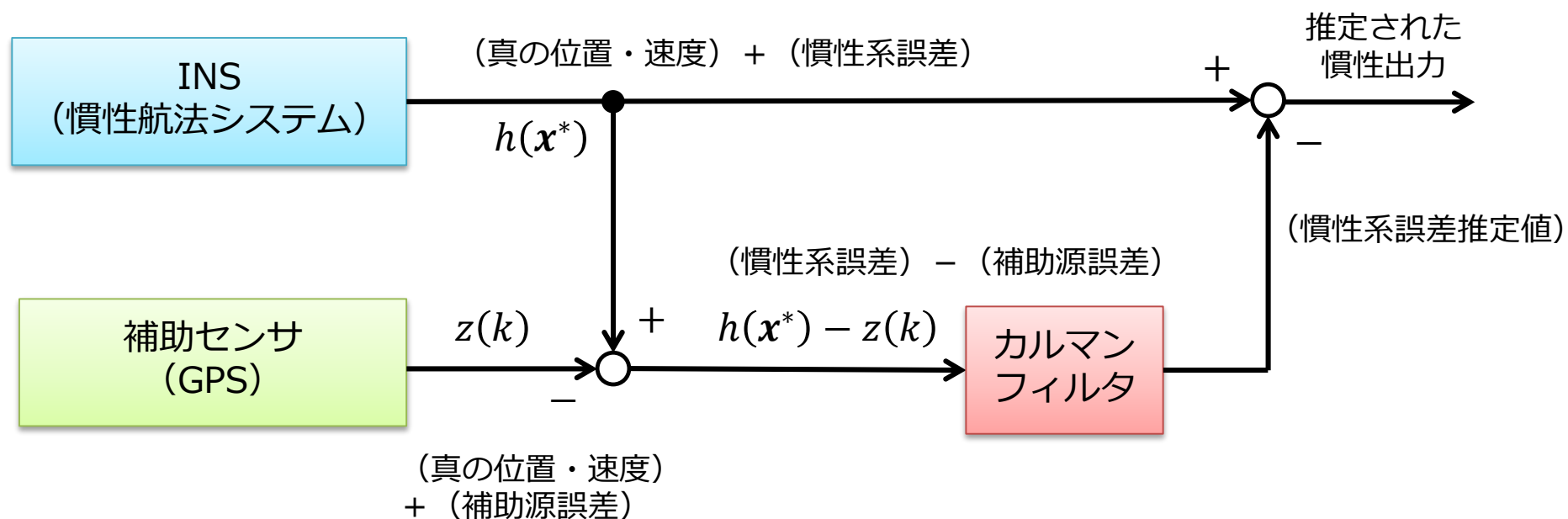
$$h(\mathbf{x}^*) - z(k) = n_1 - n_2$$

ねらい



$$h(\mathbf{x}^*) - \hat{n}_1 = (\text{真の位置, 速度など}) \text{の推定}$$

8.1 相補フィルタ



差分演算によって非線形性を相殺できるので線形カルマンフィルタを利用できる。

色々な補助センサを利用できる。

相補フィルタは早い応答性能を実現し瞬時に雑音を除去できる。

慣性系誤差を記述する状態空間モデルが必要。